

## بازداشت پیریت در مدار فرآوری کانسنگ چند فلزی سولفیدی با کنترل پتانسیل

پالپ

خداکرم غربی<sup>۱\*</sup>؛ مریم آلمحمدی<sup>۲</sup>

۱- استادیار دانشکده مهندسی معدن و متالورژی دانشگاه یزد، khgharibi@yahoo.com

۲- دانشجوی کارشناسی ارشد دانشکده مهندسی معدن و متالورژی دانشگاه یزد

(دریافت ۶ مرداد ۱۳۹۴، پذیرش ۳ مهر ۱۳۹۵)

### چکیده

در این تحقیق اثر کنترل پتانسیل اکسیداسیون-احیا روی بازداشت پیریت از کانسنگ‌های پلیمتال سرب و روی کوشک در  $pH$  مختلف و در شرایط الکتروشیمیابی متفاوت بررسی شده است. برای کنترل پتانسیل از روش اعمال پتانسیل خارجی (روش کرونوآمپرومتری) استفاده شد. نتایج آزمایش‌ها نشان داد که در  $pH$ ‌های خنثی و قلیابی بازداشت پیریت بالای ۹۰٪ است. بیشترین جدایش بین پیریت از گالن و اسفالریت در  $Eh = -100mV$  و  $pH = 7-9$  و  $Eh = +600mV$  رخ داده است. کمترین جدایش بین پیریت با گالن و اسفالریت (کمتر از ۵٪) در  $pH = 11$  و  $Eh = +1100mV$  رخ داده است. از ولتاوتمتری چرخه‌ای برای تحلیل بازداشت پیریت استفاده شد. برای این کار مطالعه ولتاوتمتری چرخه‌ای روی الکترود کانی پیریت در  $pH$ ‌های مختلف بررسی شد. جهت رویش از پتانسیل-های منفی ( $-100mV$ ) (در مقیاس کالومل) به سمت پتانسیل‌های مثبت ( $+50mV$ ) و بر عکس است. براساس نتایج آزمایش‌های بازداشت و مطالعات ولتاوتمتری چرخه‌ای، عامل بازداشت پیریت گونه‌های آبدوست از قبیل  $Fe(OH)_3$  و  $S_2O_3^{2-}$  است که در طی واکنش‌های اکسایش پیریت در محیط شکل گرفته است.

### کلمات کلیدی

فلوتاسیون الکتروشیمیابی، کنترل پتانسیل پالپ (اعمال پتانسیل خارجی)، بازداشت پیریت

کانی‌ها را تسریع می‌سازد. اندرکنش کانی‌های سولفیدی می‌توانند خواص سطحی کانی‌ها و در نتیجه قابلیت شناورسازی آن‌ها را تحت تأثیر قرار دهد. بسته به فعالیت کانی‌ها، کانی‌های سولفیدی مختلف دارای عکس‌العمل‌های متفاوتی در فلوتاسیون هستند.

دو روش عمده برای کنترل پتانسیل پالپ در سیستم فلوتاسیون کانی‌های سولفیدی، به کار می‌رود: یکی استفاده از مواد شیمیایی کاهنده و اکسنده و دیگری، استفاده از یک منبع تغذیه خارجی است که در این روش با اعمال پتانسیل خارجی توسط پتانسیوستات، می‌توان پتانسیل پالپ را در یک مقدار معین، تنظیم و کنترل کرد [۳]. در این روش با شناسایی دامنه مؤثر پتانسیل اکسیداسیون-احیا کانی‌های موردنظر، پتانسیل لازم برای رسیدن به چنین شرایطی، روی الکترود کار که با الکترود کمکی یک مدار بسته را می‌سازند، اعمال می‌شود. بدین وسیله شرایط لازم برای انجام فرآیند اکسیداسیون-احیا در مسیر دلخواه فراهم می‌شود. شناخت فرآیندها و واکنش‌هایی که در سطح کانی‌های فلوته شونده یا بازداشت شونده در محیط فلوتاسیون اتفاق می‌افتد، راه حل‌های مناسبی را برای انجام فلوتاسیون الکتروشیمیایی در اختیار قرار می‌دهد. در حقیقت با شناخت این فرآیندها و تأثیر پارامترهای الکتروشیمیایی از جمله پتانسیل پالپ،  $pH$  و یا اعمال پتانسیل خارجی می‌توان تشکیل مواد آبران را در سطح کانی‌های فلوته شونده، کنترل و فلوتاسیون را به مسیر مطلوب هدایت کرد [۵]. در این تحقیق از روش دوم برای کنترل پتانسیل پالپ استفاده شد. هدف نهایی در این تحقیق بازداشت پیریت از کانسنگ پلی‌متال سرب و روی با اعمال پتانسیل خارجی است و برای تحلیل رفتار مشاهده شده تحت شرایط مختلف از روش ولتاومتری چرخه‌ای که یکی از روش‌های پرکاربرد برای پیش‌بینی واکنش‌های اکسایش و کاهش بر روی سطح کانی‌ها در شرایط مختلف پتانسیل می‌باشد، استفاده شده است.

## ۲- مواد و آزمایش‌ها

### ۲-۱- تهییه و آماده‌سازی نمونه

نمونه مورد استفاده در این تحقیق، به صورت تکه‌ای از یکی از دپوهای ناحیه زردو در کانسوار سرب و روی کوشک تهییه شد. نمونه مذکور ابتدا توسط سنگ‌شکن‌های فکی و استوانه‌ای، سپس با آسیای گلوله‌ای تا ابعاد ۷۵-۷۵ میکرون مورد خردایش

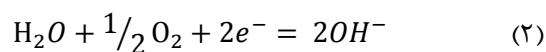
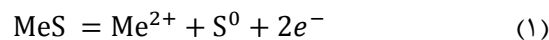
## ۱- مقدمه

سولفیدهای فلزی اغلب نیمه هادی هستند و در مقایسه با سایر کانی‌ها هدایت الکتریکی نسبتاً خوبی دارند، بنابراین تا حدودی منبع الکترون هستند و می‌توانند با محیط فرآیند و سایر کانی‌های موجود تبادل الکترون نمایند و واکنش‌های الکترودی را در سطح کانی فراهم سازند [۲]. اهمیت و نقش پتانسیل پالپ در شناورسازی کانی‌های سولفیدی بر هیچ محققی پوشیده نیست. اختلاف در شناورسازی کانی‌های سولفیدی نسبت به پتانسیل پالپ شرایطی برای جدا کردن کانی‌های مختلف را ایجاد می‌کند [۳].

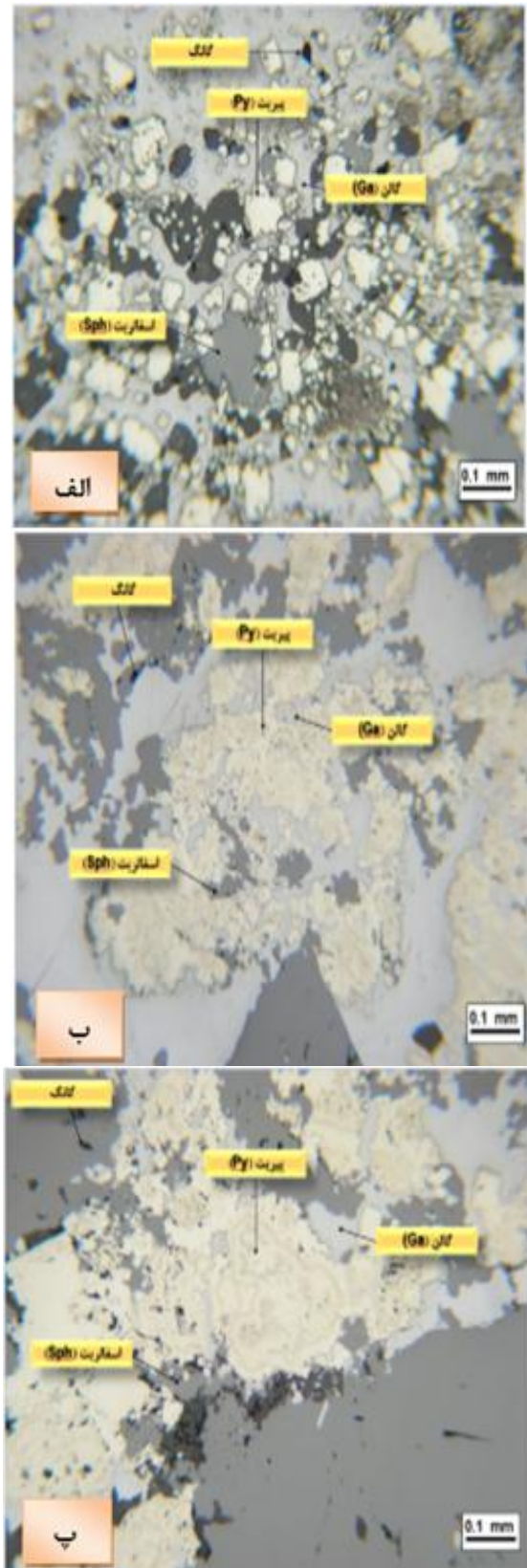
پیریت فراوان‌ترین کانی سولفیدی است که در کانسنسنگ‌های پلی‌متال یافت می‌شود. پیریت خصوصیاتی مشابه با کالکوپیریت، گالن و اسفالریت از خود نشان می‌دهد. به همین دلیل وجود پیریت در فرآیند فلوتاسیون منجر به مشکلاتی در دستیابی به فلوتاسیون مطلوب می‌شود. به این دلیل، در تأثیر مکانیسم‌های الکتروشیمیایی در واکنش مواد شیمیایی مختلف با سطح کانی سولفیدی در محیط آبی، اهمیت زیاد برای بهبود عملکرد فلوتاسیون با کلکتور دارد [۸].

مطالعات نشان داده است که رفتار الکتروشیمیایی کانی‌های ترکیبی، غالباً متفاوت از رفتار تک تک آن‌هاست که علت این پدیده اغلب به دلیل اثر گالوانیکی و یا برهمکنش متقابل کانی‌های مختلف بر هم‌دیگر گزارش شده است [۳].

تماس بین یک سطح کاتدیک (گیرنده الکترون) و یک سطح آندیک (دهنده الکترون) منجر به ایجاد یک سلول گالوانیکی می‌شود. در ترکیب دو کانی سولفیدی، آن‌که دارای پتانسیل آزاد بیشتری است به عنوان کاتد و کانی با پتانسیل آزاد کمتر کانی فعل بوده و به عنوان آنده عمل می‌کند. همانگونه که در رابطه (۱) و (۲) مشاهده می‌شود، در نیم واکنش آنده اکسیداسیون کانی با پتانسیل کمتر انجام می‌شود و احیای اکسیژن نیز توسط نیم واکنش کاتدی در سطح کانی با پتانسیل بیشتر اتفاق می‌افتد [۱].



پیریت که بیشترین پتانسیل آزاد را در میان سولفیدها دارد، به عنوان کاتد عمل کرده و در نتیجه اکسیداسیون سایر



شکل ۱: درگیری پیریت با سایر کانی‌ها در نمونه مورد مطالعه

قرار گرفت. سپس با استفاده از روش‌های تقسیم نمونه، نمونه‌های ۱ کیلویی تهیه شد. در این آزمایش‌ها برای تقسیم نمونه از روش چهار قسمتی استفاده شد.

مطالعات کانی‌شناسی روی مقاطع صیقلی به منظور شناسایی کانی‌های مختلف در نمونه خوارک، انجام شد. نتایج آنالیزهای کانی‌شناسی نمونه مورد مطالعه در جدول ۱ ارائه شده است. وضعیت کلی درگیری پیریت با سایر کانی‌ها در شکل ۱ نشان داده شده است.

### ۲-۲- مواد شیمیایی مورد استفاده

مواد شیمیایی شامل اتیل گرانات سدیم و گازوئیل به عنوان pH کلکتور، روغن کاج به عنوان کفساز، آهک برای تنظیم  $pH$  بالپ و محلول‌های بافر با  $pH$ ‌های مختلف در این مطالعات استفاده شد.

### ۲-۳- روش کار و تجهیزات مورد استفاده

یکی از تجهیزات موردنیاز، سلول فلوتاسیون الکتروشیمیایی است. به منظور افزایش واسطه‌های تبادل الکترون یعنی یون‌های آزاد در محیط فرآیند، سلول فلوتاسیون الکتروشیمیایی شامل - دو بخش الکتروولیتی و فرآیند است که این دو بخش توسط یک دیواره تراوای یونی از هم جدا شده است.

برای کنترل پارامترهای الکتروشیمیایی در محیط فلوتاسیون تجهیزاتی از قبیل پتانسیوستات به عنوان منبع اعمال پتانسیل، انواع الکترودهای مرجع ( $Ag/AgCl$ )، کمکی (گرافیت صفحه‌ای) و کار (گرافیت صفحه‌ای و الکترود پیریت)، مورد نیاز بود که متناسب با آزمایش‌ها تهیه شد.

الکترود کار (گرافیت صفحه‌ای) روی دیواره سلول در بخش فلوتاسیون و الکترود کمکی روی دیواره سلول در بخش الکتروولیت نصب شد.

الکترود کار و مرجع ( $Ag/AgCl$ ) با استفاده از یک دستگاه ولتومتر دیجیتال انجام شده است.

در این آزمایش‌ها، میزان کلکتور اتیل گرانتات سدیم  $20\text{ gr/ton}$ ، مقدار کفساز  $30\text{ gr/ton}$  زمان آماده‌سازی و کف‌گیری به ترتیب  $15$  دقیقه و  $10$  دقیقه است.

در این تحقیق برای کنترل و شناسایی گونه‌های آبران و آبدوست از روش ولتاوتمتری چرخه‌ای استفاده شده است. بدین ترتیب، آزمایش‌های ولتاوتمتری چرخه‌ای در مقادیر مختلف  $pH$  در محیط پالپ انجام شده است. در این آزمایش‌ها الکترود مرجع و الکترود کمکی و الکترود کار به ترتیب الکترود کالومل، پلاتین، کانی پیریت است. پتانسیل مورد نیاز توسط پتانسیومات متصل به کامپیوتر به سلول اعمال شد و تغییرات جریان نسبت به پتانسیل ثبت شد.

برای ساخت الکترود کانی پیریت، طبق روش ارائه شده توسط گوگتپه [۷] از بلورهای تقریباً خالص کانی پیریت با سطح مقطع  $1\text{ cm} \times 1\text{ cm}$  تهیه شد. به این ترتیب که نخست سیم اتصال که شامل یک سیم مسی است را با استفاده از چسب اپوکسی به یک سطح بلور اتصال، سپس این سیم را برای محفوظ ماندن از تماس با محیط محلول در داخل یک لوله شیشه‌ای قرار داده شد. با قرار دادن سر لوله شیشه‌ای که با بلور در تماس است در داخل قالب، آن را با چسب اپوکسی پر نموده تا فقط یک سطح بلور در تماس با هوای آزاد قرار گیرد. در هر بار آزمایش سطح پیریت، پولیش داده شد تا سطح تازه بلور در معرض محلول قرار گیرد.

### ۳- ارائه یافته‌ها و نتایج

در جهت اثبات فرضیات تحقیق در خصوص بازداشت پیریت با کنترل پتانسیل پالپ و اعمال پتانسیل خارجی ضروری بود که مشخصات کمی و کیفی محصولات آزمایش‌ها مورد مطالعه قرار گیرد. آنالیز عیاری محصولات به منظور بررسی موفقیت فرآیند بازداشت کانی پیریت انجام شده است. نتایج میزان آهن در باطله آزمایش‌های  $T_1$  تا  $T_8$  در جدول ۲ نشان داده شده است. همان‌طور که در جدول ۲ مشاهده شده است، میزان بازداشت پیریت در آزمایش‌ها بالای  $90\%$  است. می‌توان نتیجه گرفت که با کنترل پتانسیل پالپ، گونه‌های آبدوست در اثر اکسایش پیریت در محیط شکل گرفته و منجر به بازداشت پیریت شده است. لازم به توضیح است که با توجه به مندرجات جدول شماره ۱ تنها کانی آهن‌دار نمونه مورد

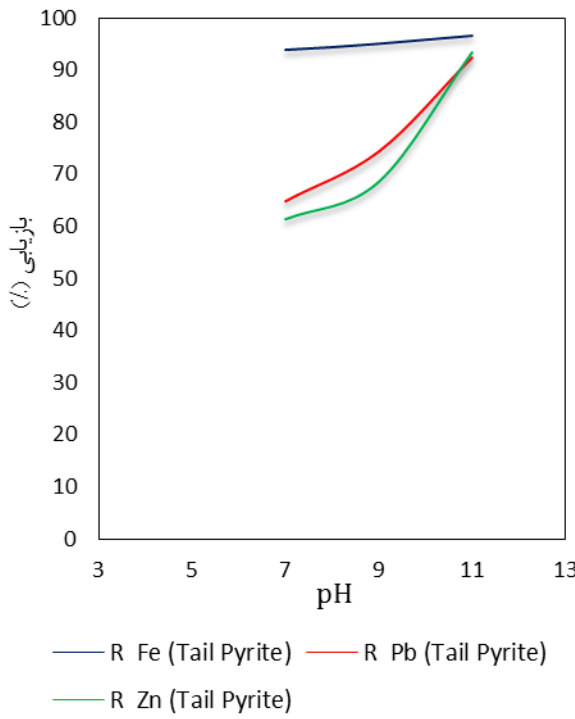
جدول ۱: آنالیز کانی شناسی نمونه برای آزمایش‌ها

نام کانی	ترکیب شیمیابی	درصد وزنی (%)
گالن		۱۰-۲۰
اسفالریت		۲۵-۳۰
پیریت		۳۵-۵۰
شیل	-	۱۰-۱۵
گانگ کربناته	-	۵-۱۰

در روش کرونوآمپرومتری با اعمال پتانسیل ثابت روی الکترود کار، تغییرات جریان بر حسب زمان ثبت می‌شود. کرونوآمپرومتری در مقایسه با سایر تکنیک‌های آمپرومتری پاسخ بهتری به اختشاش می‌دهد [۵]. در این روش از سه الکترود کار، کمکی و مرجع استفاده می‌شود و اعمال پتانسیل ثابت، با استفاده از یک پتانسیومات انجام می‌گیرد. با اعمال پتانسیل بر روی الکترود کار، بین این الکترود و الکترود کمکی یک اختلاف پتانسیل برقرار می‌شود. با توجه به مقاومت الکتریکی محیط فرآیند، تغییرات جریان نسبت به زمان بیان گر واکنش‌های اکسیداسیون-احیایی است که در محیط فرآیند اتفاق افتاده است. مهم‌ترین این واکنش‌ها اکسیداسیون کانی-های سولفیدی موجود در محیط و احیای گونه‌های آبران یا آبدوست در محیط فرآیند می‌باشد. بدینهی است با نشستن گونه‌های آبران بر روی کانی مورد نظر آن کانی شناور می‌شود و با جذب گونه آبدوست بر روی سطح کانی دیگر آن کانی بازداشت می‌شود [۴].

هر آزمایش عموماً در دو مرحله شامل مرحله اول حذف شیل و مرحله دوم بازداشت پیریت انجام شده است. در مرحله حذف شیل کلکتور غیر یونیک (گازوئیل) و کفساز روغن کاج استفاده شد. مرحله دوم، شامل بازداشت پیریت از گالن و اسفالریت است. در پتانسیلهایی که پیریت خاصیت آبدوستی داشته و غوطه‌ور شده است، اسفالریت و گالن به صورت شیمیابی آبران و شناور شده و فلوتاسیون معکوس پیریت انجام شده است. در هر آزمایش پارامترهای الکتروشیمیابی محیط از جمله  $pH$  محیط، پتانسیل بین الکترود کار و مرجع اندازه‌گیری شده است. پتانسیل پالپ با قرائت، پتانسیل بین

از  $pH=8/5$  با افزایش  $pH$  میزان بازیابی گالن و اسفالریت کاهش یافته است. بر اساس شکل‌های ۲ تا ۳ ملاحظه می‌شود که بیشترین و کمترین جدایش پیریت از گالن و اسفالریت به ترتیب در  $pH=7-9$  و  $pH=11$  اتفاق افتاده است.



شکل ۲: نمودار بازیابی- $pH$ -پیریت در باطله آزمایش‌های بازداشت پیریت

آزمایش پیریت است. بنابراین همبستگی معنا داری بین میزان آهن و پیریت وجود دارد و می‌توان مقدار آهن را به پیریت نسبت داد.

جدول ۲: میزان  $Fe$  در باطله آزمایش‌های بازداشت پیریت

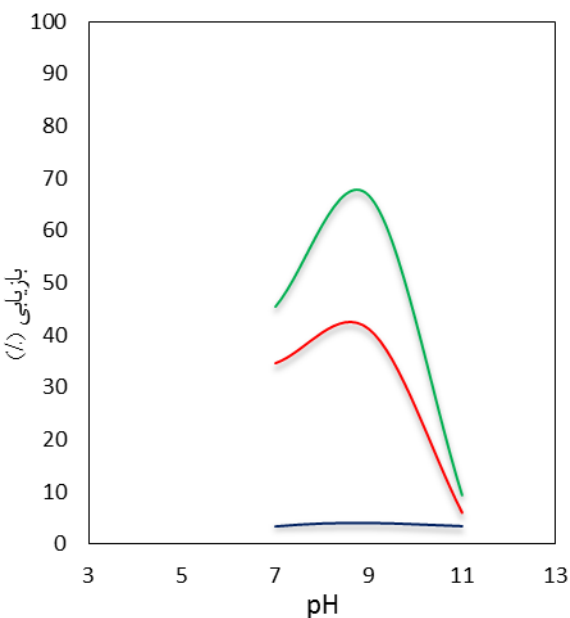
آزمایش‌های بازداشت پیریت	پتانسیل اعمالی باطله آزمایش (%)	شرایط آزمایش میزان $Fe$ در باطله آزمایش (%)	آزمایش
۹۵/۱۵	$pH=11$	+۵V تا -۵V	$T_1$ آزمایش
	$t_1=t_2=90.0\text{ s}$		
۹۷/۷۸	$pH=11$	+۳V تا -۳V	$T_2$ آزمایش
	$t_1=t_2=90.0\text{ s}$		
۸۹/۹۱	$pH=9$	+۵V تا -۵V	$T_3$ آزمایش
	$t_1=t_2=90.0\text{ s}$		
۹۸/۶۷	$pH=9$	+۳V تا -۳V	$T_4$ آزمایش
	$t_1=t_2=90.0\text{ s}$		
۹۵/۶۵	$pH=7$	+۳V تا -۳V	$T_5$ آزمایش
	$t_1=t_2=90.0\text{ s}$		
۹۲/۵۸	$pH=7$	-۲V تا +۰V	$T_6$ آزمایش
	$t_1=t_2=90.0\text{ s}$		
۹۰/۳۰	$pH=7$	-۲V تا +۰V	$T_7$ آزمایش
	$t_1=t_2=90.0\text{ s}$		
۹۴/۳۱	$pH=9$	-۲V تا +۰V	$T_8$ آزمایش
	$t_1=t_2=45.0\text{ s}$		

نمودارهای بازیابی- $pH$  در آزمایش‌های بازداشت در شکل-های ۲ تا ۳ نشان داده شده است. همان‌طور که در نمودارهای بازیابی- $pH$ -پیریت در باطله مشاهده شده است، با افزایش  $pH$  (۹۷٪ تا ۹۴٪، ۹۲٪ تا ۶۴٪، ۹۲٪ تا ۶۲٪) افزایش یافته ترقیب از ۹٪ تا ۶٪ افزایش فرآیند ارتباط معنی‌داری بین است. با توجه به این که در محیط فرآیند ارتباط معنی‌داری بین  $pH$  و  $Eh$  (ناشی از اعمال پتانسیل) وجود دارد، بنابر این می-توان اثر تأثیر پتانسیل بر بازیابی را به صورت اثر  $pH$  بر بازیابی در نظر گرفت. چون  $pH$  به راحتی قابل اندازه‌گیری است. این رابطه به صورت  $Eh = pH + 0.253$  است.

در نمودار بازیابی- $pH$ -کنسانتره تجمعی گالن و اسفالریت همان‌طور که مشاهده می‌شود، مقدار بازیابی پیریت کمتر از ۴٪ است. بازیابی گالن و اسفالریت در کنسانتره تجمعی گالن و اسفالریت، با افزایش  $pH$  تا مقدار ۸/۵، افزایش در حالی که بعد

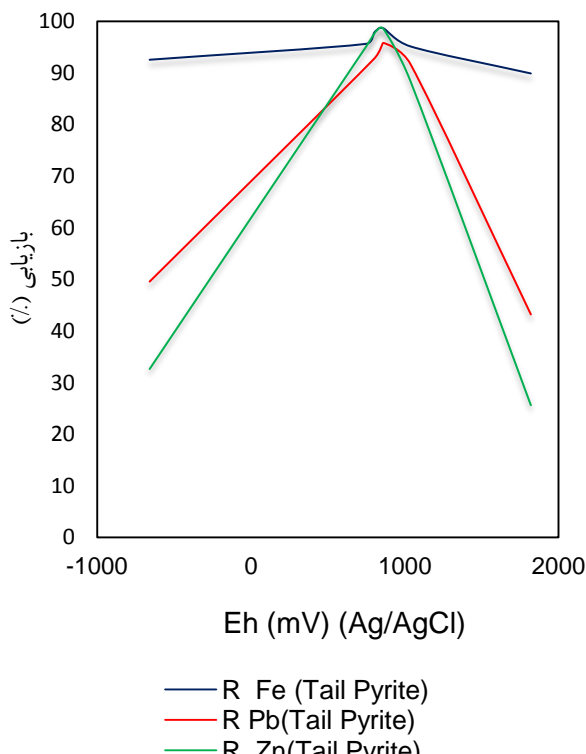
اندکی افزایش و بعد از  $Eh=+10\text{ mV}$ , با افزایش  $Eh$ ، بازیابی گالن در کنسانتره تجمعی گالن و اسفالریت کاهش می-یابد. همچنین بازیابی اسفالریت با افزایش  $Eh$  از  $Eh=+6\text{ mV}$  تا  $Eh=+60\text{ mV}$ , تقریباً ثابت و بعد از  $Eh=+60\text{ mV}$ , با افزایش  $Eh$  میزان بازیابی اسفالریت در کنسانتره تجمعی گالن و اسفالریت کاهش می-یابد.

براساس نمودارهای بازیابی-آزمایش‌های بازداشت، می-توان چنین استنتاج نمود که بیشترین و کمترین جدایش بین پیریت با گالن و اسفالریت به ترتیب در  $Eh=-600\text{ mV}$  تا  $Eh=+1100\text{ mV}$  و  $Eh=+250\text{ mV}$  تا  $Eh=-100\text{ mV}$  اتفاق افتاده است.



شکل ۳: نمودار بازیابی- $pH$ -کنسانتره تجمعی گالن و اسفالریت در آزمایش‌های بازداشت

نمودارهای بازیابی-آزمایش‌های بازداشت در شکل‌های ۴ و ۵ نشان داده شده است. در نمودار بازیابی- $Eh$  پیریت در باطله (شکل ۴) مشاهده شده است که با افزایش  $Eh$  از  $Eh=-600\text{ mV}$  تا  $Eh=+700\text{ mV}$ , بازیابی پیریت از ۹۲٪ تا ۹۵٪ با سرعت کم، افزایش یافته است. در  $Eh=+800\text{ mV}$  مقدار بازیابی پیریت ماکریم و برابر با ۹۸٪ است. بعد از  $Eh=+800\text{ mV}$ , با افزایش  $Eh$  مقدار بازیابی پیریت با سرعت کم، کاهش یافته است. میزان بازیابی گالن و اسفالریت با افزایش  $Eh$  از  $Eh=+800\text{ mV}$  تا  $Eh=-600\text{ mV}$  افزایش، بعد از  $Eh=+800\text{ mV}$  با افزایش  $Eh$ ، میزان بازیابی گالن و اسفالریت کاهش یافته است.



شکل ۴: نمودار بازیابی- $Eh$  در باطله آزمایش‌های بازداشت پیریت

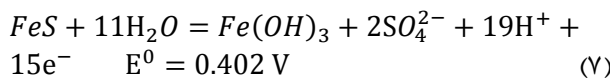
همان‌طور که در نمودار بازیابی- $Eh$ -کنسانتره تجمعی گالن و اسفالریت (شکل ۵) مشاهده می‌شود، میزان بازیابی پیریت، گالن و اسفالریت در کنسانتره تجمعی گالن و اسفالریت به ترتیب کمتر از ۷٪ و ۷۰٪ و ۴۲٪ می‌باشد. در نمودار بازیابی- $Eh$  کنسانتره تجمعی گالن و اسفالریت مشاهده شده است که با افزایش  $Eh$  از  $Eh=+250\text{ mV}$  تا  $Eh=+10\text{ mV}$ , بازیابی پیریت در کنسانتره تجمعی گالن و اسفالریت تغییر محسوسی ندارد. در حالی‌که با افزایش  $Eh$  از  $Eh=+10\text{ mV}$  تا  $Eh=+60\text{ mV}$ , بازیابی گالن در کنسانتره تجمعی گالن و اسفالریت به میزان

$$7e^- \quad Eh = 0.48 - 0.076pH \quad (4)$$

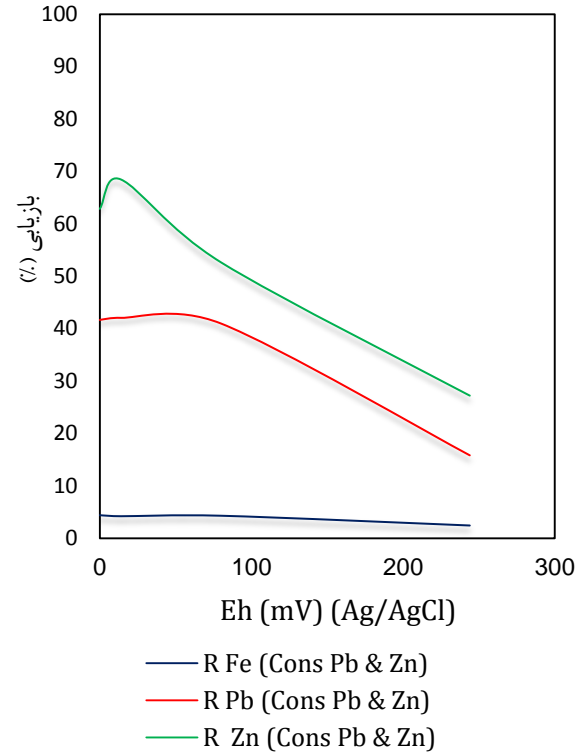
$$FeS_2 \leftrightarrow Fe^{2+} + 2S + 2e^- \\ Eh = 0.34 + 0.059 \log[Fe^{2+}] = 0.24 \quad (5)$$

$$FeS_2 + 3H_2O \leftrightarrow Fe^{2+} + S_2O_3^{2-} + 6H^+ + 6e^- \\ Eh = 0.344 - 0.059pH \quad (6)$$

در اثر اندرکنش گالوانیکی، پیریت که به عنوان کاتد عمل نموده و پیریت به شکل یک سلول موضعی (معادله ۷) شدیداً اکسید می‌شود که این معادله نیز موجب بازداشت پیریت می‌شود [۱].



در شکل‌های ۶ و ۷ پیک‌های قابل تشخیص و مجزای آندی ( $A_1$ ) مشاهده شده است. پیک آندی در شکل‌های ۶ و ۷ در محدوده پتانسیل  $+200 \text{ mV}$  تا  $-100 \text{ mV}$  (در مقیاس  $Ag/AgCl$ ) است. در شکل ۶ واکنش‌های اکسایش پیریت که به صورت پیک آندیک ( $A_1$ ) در منحنی نشان داده شده است، معادله‌های (۵) و (۶) است. واکنش‌های اکسایش پیریت در پیک آندیک (۶) و (۷) است. واکنش‌های اکسایش پیریت در شکل ۷، معادله (۴) و (۵) و (۷) است [۶، ۱]. واکنش‌های اکسایش پیریت در پیک آندیک ( $A_1$ ) در شکل ۸، معادله (۳) و (۴) و (۷) است [۶، ۱].

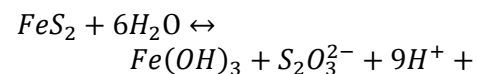
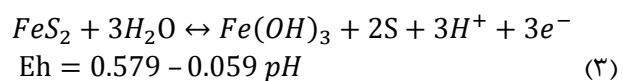


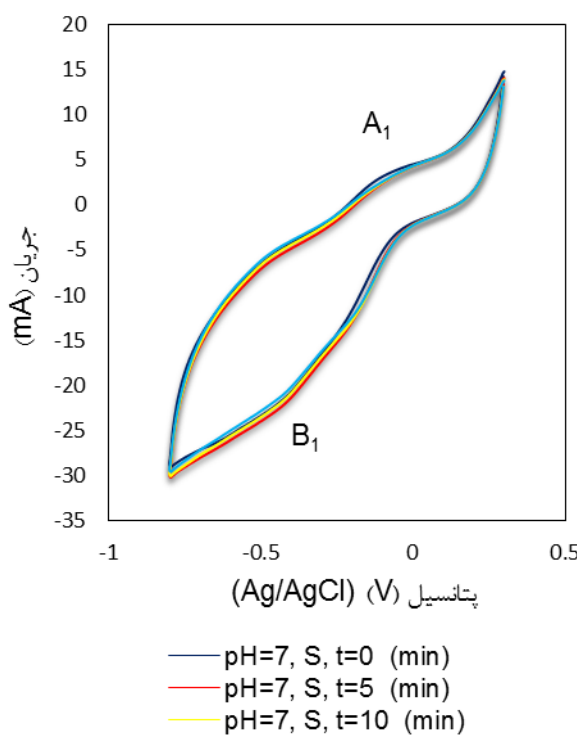
شکل ۵: نمودار بازیابی-**Eh**-کنسانتره تجمعی گالن و اسفالریت در آزمایش‌های بازداشت پیریت

#### ۴- بحث و نتایج

سطح آبران و آبدوست در سطح کانی‌های سولفیدی ناشی از واکنش‌های سطحی است که طی مراحل مختلف پدیده‌های الکتروشیمیایی صورت می‌گیرد [۳]. جدا از اندرکنش‌های گالوانیکی بین کانی‌های سولفیدی موجود در بالپ (پیریت و اسفالریت و گالن)، تشکیل گونه‌های آبدوست از قبیل  $Fe(OH)_3$ ,  $S_2O_3^{2-}$  ناشی از واکنش‌های الکتروشیمیایی در مقادیر مختلف  $Eh$  و  $pH$  محیط، عامل بازداشت پیریت است.

شکل‌های ۶ تا ۱۰، مطالعات ولتا متري چرخه‌ای الکترود پیریت در محیط بالپ (چند کانی) در  $pH$ های مختلف را نشان داده شده است. واکنش‌های اکسیداسیون پیریت بسته به شرایط الکتروشیمیایی بالپ در  $pH$ های مورد بررسی، به صورت معادلات (۳) و (۴) و (۵) و (۶) می‌باشند [۳، ۶].

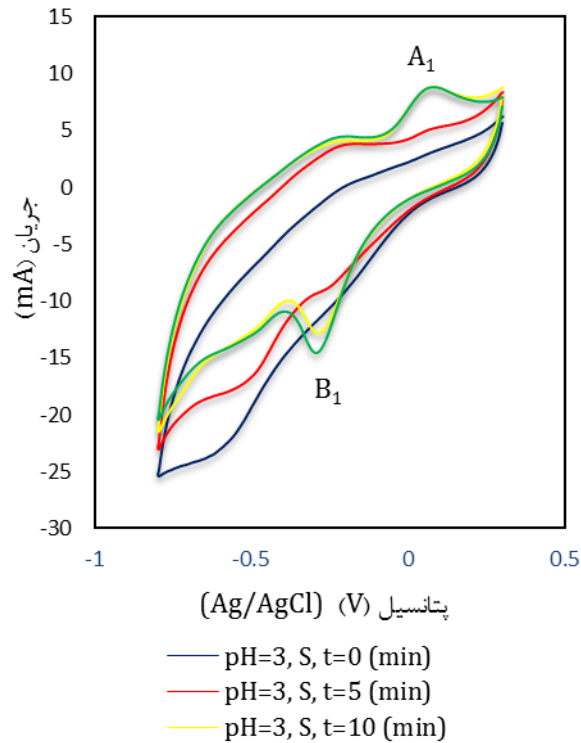




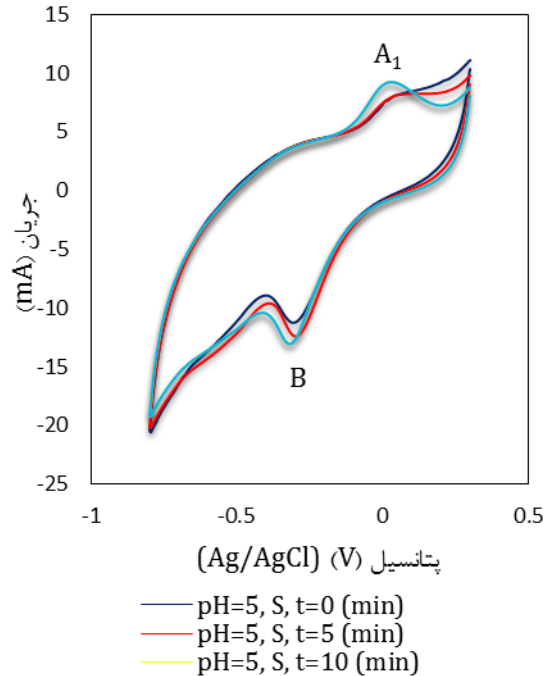
شکل ۸: منحنی ولتاوتمتری چرخهای الکترود پیریت در  $\text{pH}=7$  در محیط پالپ با زمان آماده‌سازی متفاوت

در شکل‌های ۹ و ۱۰ پیک‌های آندی قابل تشخیص و مجزایی مشاهده نمی‌شود، این امر ناشی از واکنش‌های کند اکسیداسیون پیریت و یا همپوشانی واکنش‌های متعدد اکسیداسیون پیریت با یکدیگر می‌باشد که به صورت یک روند صعودی کلی در گراف‌های ولتاوتمتری چرخهای پیریت ظاهر شده‌اند [۳].

واکنش‌های اکسیداسیون پیریت که در  $\text{pH}=9$  و  $\text{pH}=11$  اتفاق افتاده است، معادله‌های (۳) و (۴) و (۷) است. عکس این واکنش‌های اکسایش در پیک کاتدی اتفاق افتاده است [۶، ۱]. در معادله‌های (۳) و (۴) و (۶) و (۷) گونه‌های آب‌دوست در اثر اکسایش پیریت در سطح کانی تشکیل و منجر به بازداشت پیریت می‌شود. در معادله‌های (۵) و (۳) اگرچه گونه آبران (گوگرد عنصری) در محیط تشکیل شده است ولی گونه‌های آب‌دوست تشکیل شده در محیط اثر آبرانی گوگرد عنصری را کاهش داده و منجر به بازداشت پیریت در محیط شده است.



شکل ۶: منحنی ولتاوتمتری چرخهای الکترود پیریت در  $\text{pH}=3$  در محیط پالپ با زمان آماده‌سازی متفاوت



شکل ۷: منحنی ولتاوتمتری چرخهای الکترود پیریت در  $\text{pH}=5$  در محیط پالپ با زمان آماده‌سازی متفاوت

در شکل ۸ پیک‌های قابل تشخیص و مجزای آندی ( $A_1$ ) مشاهده شده است. پیک آندی در شکل ۸ در محدوده پتانسیل  $0 \text{ V}$  تا  $-200 \text{ V}$  (در مقیاس  $\text{Ag}/\text{AgCl}$ ) است.

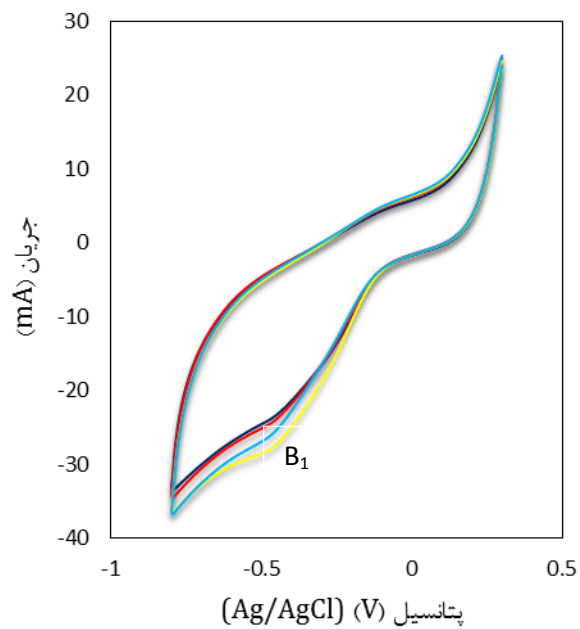
#### ۴-نتیجه‌گیری

- ۱- پدیده اثر گالوانیک در اثر اختلاف در پتانسیل آزاد کانی‌ها انجام می‌شود. هر چند پدیده اثر گالوانیک را باید در فلوتاسیون الکتروشیمیایی کانی‌های مخلوط در نظر گرفت، اما شناخت رفتار یک کانی و تعیین محدوده‌ای از پتانسیل که در آن خاصیت آبدوستی یا آبرانی دارد، می‌تواند راهنمای خوبی برای تعیین رفتار آن کانی در یک سیستم پیچیده پالپ باشد.
- ۲- در فلوتاسیون الکتروشیمیایی پیریت با اعمال پتانسیل خارجی، عامل بازداشت پیریت گونه‌های آبدوست از قبیل  $S_2O_3^{2-}$ ,  $Fe(OH)_3$  است که در طی واکنش‌های اکسایش پیریت در محیط شکل گرفته است. وجود گونه‌های آبدوست با استفاده از آزمایش‌های ولتاگرام‌های چرخه‌ای اثبات شده است. پیک‌های  $A_1$  در ولتاگرام‌های نشان داده شده در شکل‌های ۶ و ۷ بیان گر این گونه‌ها است.
- ۳- نتایج آزمایش‌های بازداشت پیریت نشان داده است که در تمام آزمایش‌ها، پیریت بازداشت شده است. در  $pH$ ‌های خنثی و قلیایی بازداشت پیریت بالای ۹۰٪ می‌باشد که نشان گر این است که عملیات بازداشت پیریت با اعمال پتانسیل خارجی موفقیت‌آمیز بوده است.

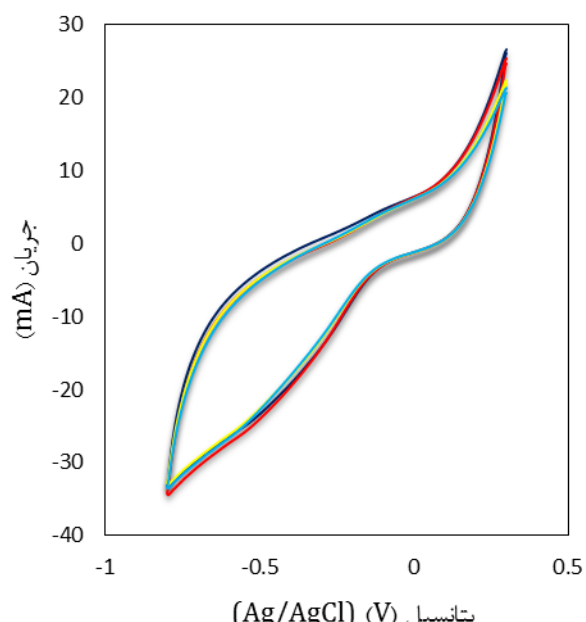
- ۴- براساس نمودارهای بازیابی  $Eh$  و نمودارهای بازیابی- $pH$  آزمایش‌های بازداشت، بیشترین جدایش پیریت از گالن و اسفالریت در  $pH=7-9$  و  $pH=6-8$  تا  $Eh=-100\text{ mV}$  رخ داده است. کمترین جدایش پیریت از گالن و اسفالریت در  $pH=11$  و  $pH=+250\text{ mV}$  تا  $Eh=+1100\text{ mV}$  رخ داده است.

#### مراجع

- [۱] رضایی بهرام، "پدیده‌های اندرکنش در فرآوری مواد معدنی"، تهران، جهاد دانشگاهی، واحد صنعتی امیرکبیر، ۱۳۹۱، ص. ۵۹۴۵.
- [۲] رضایی بهرام، "فلوتاسیون"، انتشارات دانشگاه هرمزگان، ۱۳۷۸، ص. ۴۴۳.
- [۳] طاهری بیژن، عبدالهی محمود، شفائی تنکابنی سید ضیالدین، جوادیان فرزانه سهیلا، "جداسازی کالکوسیت از پیریت به روش شناورسازی با کنترل پتانسیل اکسیداسیون-احیا پالپ"، ۱۳۹۲، علوم و مهندسی جدایش، ۵، ۴۷-۳۵.
- [۴] غربی خداکرم، "بازداشت کانی‌ها در فلوتاسیون-الکتروشیمیایی با کنترل پتانسیل پالپ همراه با اعمال پتانسیل خارجی (مطالعه موردی بازداشت کالکوپیریت در مدار فرآوری



شکل ۹: منحنی ولتاگرام چرخه‌ای الکتروود پیریت در  $pH=9$  در محیط پالپ با زمان آماده‌سازی متفاوت



شکل ۱۰: منحنی ولتاگرام چرخه‌ای الکتروود پیریت در  $pH=11$  در محیط پالپ با زمان آماده‌سازی متفاوت

مولیبدن)،" پایان نامه دکتری، دانشگاه صنعتی شاهرود، ۱۳۹۲، ص ۱۳۹.

[۵] غربی خداکرم، شفائی تنکابنی سید ضیال الدین، زارع حمیدرضا، یاراحمدی محمد رضا، زید آبادی صدیقه، "حذف کالکوپیریت از کنسانتره مس- مولیبدن به روش فلوتاسیون- الکتروشیمیائی با اعمال پتانسیل خارجی"، نشریه علمی پژوهشی مهندسی معدن شماره ۱۶، خرداد ۹۱، ص ۵۳-۶۷.

[۶] هو یوهوا، سون وس، دیاندزو وانگ، "الکتروشیمی فلوتاسیون کانی های سولفیدی"، رضایی بهرام، شهابی آذر علی، دانشگاه صنعتی امیرکبیر، ۱۳۹۱، ص ۳۹۴.

[7] Goktepe, F., (2002), "Effect of pH on Pulp Potential and Sulphide Mineral Flotation," Turkish J. Eng. Env. Sci., vol. 26, pp. 309-318.

[8] Hicyilmaz, C., Altun, E., Ekmekci, Z., Pyrite-DTPI interaction as a "Gokagac, G., (2004). . Colloids and "function of pulp potential and PH Surfaces A: Physicochem. Eng. Aspects 233. pp11-24

